



بررسی نحوه تشکیل کنکرسیون در افقهای شیلی سازند کشفرود و کاربرد آن در بررسیهای چینه نگاری سکانسی، برش قره قیطان، کپه داغ

زهرا والیانی^{*}، عبدالحسین امینی

دانشکده زمین شناسی، پردیس علوم، دانشگاه تهران

*پست الکترونیک: zvaliani@khayam.ut.ac.ir

چکیده

بخشهای زیرین سازند کشفرود در برش قره قیطان غالباً از شیل و رخسارهای آواری دانه ریز تشکیل یافته است، کنکرسیونهای کربناته و لایه‌های نازک ماسه سنگ شاخصه‌های مفیدی برای بازسازی و تحلیل محیط رسوبی هستند. ویژگیهای رسوب‌شناسی شیلها و فراوانی آنها، محتوای اثر فسیلی هلمینتوپسیس (*Helminthopsis*) بر گسترش آنها در شرایط عمیق دریا دلالت می‌کنند. در بخش‌های عمیق حوضه برسی تغییرات نسبی دریا نسبتاً دشوار است. اثودیاژنر بودن کنکرسیونهای کربناته در این سازند بر اساس محتوای کلسیت (کلسی متری شعاعی)، شکل (کروی) و موقعیت چینه‌شناسی آنها (موازی با لایه‌بندی عمومی) مشخص شد. در این کنکرسیونها نظیر شیلهای دربر گیرنده شان کلسیت آواری، کوارتز و فلدسپار وجود دارند. شیلهای دربر گیرنده با فراوانی ایلیت، کائولینیت و کلریت مشخص می‌شوند. کنکرسیونها به نظر می‌رسد که بلا فاصله بعد از تهشیین رسوبات، در دوره‌های بالا بودن سطح دریا، در طول دوره‌های عدم و یا کمبود ورود رسوبات از خشکی توسعه یافته‌اند. واکنش آب دریا با رسوبات تازه نهشته شده به افزایش بخشی کلسیت (کنکرسیونها) منجر می‌شود. بنابراین افقهای دارای کنکرسیون ساخته‌های خوبی برای شناسایی دوره‌های بالا بودن سطح دریا (mfs) هستند. ورقه‌های ماسه‌ای در افقهای شیلی، توربیدایتها، دوره‌های پایین بودن آب دریا در حوضه را نشان می‌دهند. در طول این دوره تأمین رسوب از خشکی قابل توجه بوده است.

واژه‌های کلیدی: کشفرود، هلمینتوپسیس، کنکرسیون کربناته اثودیاژنر، چینه نگاری سکانسی.

(اروین و همکاران، ۱۹۹۷ و کورتیس و همکاران، ۱۹۸۶)

این کنکرسیونها در نهشته‌های مربوط به محیط‌های دریایی و غیردریایی و از سنگهای رسوبی پر کامبرین تا رسوبات دریایی کنونی گزارش شده‌اند (نلسون و لورنس، ۱۹۸۴). با وجودی که کنکرسیونهای با ترکیب کربناته در ماسه‌سنگها و سنگ‌آهکها هم شناسایی شده‌اند، اما تشکیل آنها در سنگهای آواری دانه ریز (گلسنگها) متداول‌تر است. این کنکرسیونها اغلب به عنوان مشخص‌ترین عارضه دیاژنزی

مقدمه

کنکرسیونهای کربناته از عوارض دیاژنتیکی شاخص در سنگهای رسوبی هستند که می‌توانند به صورت اثودیاژنتیک و مزودیاژنتیک تشکیل شده باشند. در صورت تشکیل در شرایط اثودیاژنر اطلاعات مهمی در مورد شرایط محیطی و سیالات اثودیاژنتیکی و در صورت تشکیل در شرایط مزودیاژنر اطلاعاتی در خصوص تکامل سیالات پرکننده حفره در رسوبات میزان ارائه می‌دهند

(pervasive)، استفاده شود (سیکوو و خیم، ۲۰۰۶). به طور کلی از نظر نحوه تشکیل سه نوع کنکرسیون شناسایی شده است:

۱- کنکرسیونهایی که به طرف خارج سیمانی شده اند. در این نوع کنکرسیونها احتمالاً انقباض داخلی صورت نمی گیرد، از این رو این کنکرسیونها غیر سپتارینی هستند (رایسول، ۱۹۷۱).

۲- کنکرسیونهایی که به طرف داخل سیمانی شده اند. این نوع کنکرسیونها فابریکهای داخلی را حفظ می کنند اما مستعد ترک خوردگی می باشند، یعنی سپتارینی هستند. این ترک خوردگی تا زمانی پیش می رود که بخش های داخلی کنکرسیون سیمانی شوند (پرات، ۲۰۰۱).

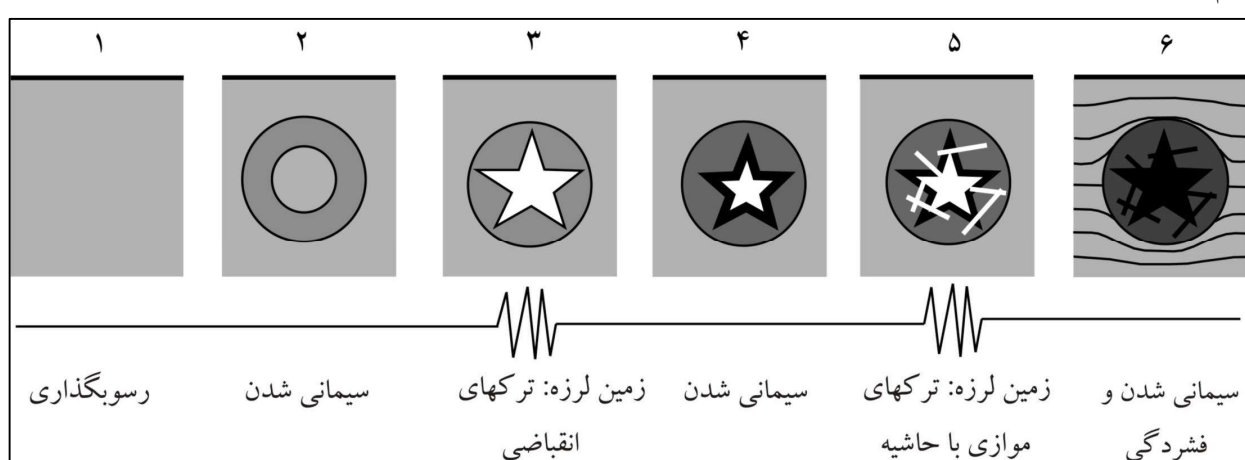
۳- کنکرسیونهایی که به طور همزمان سیمانی شده اند (pervasive). این نوع کنکرسیونها، لایه بندی اولیه را حفظ می کنند اما کمتر مستعد ترک خوردگی داخلی هستند (رایسول، ۱۹۷۱ و رایسول و فیشر، ۲۰۰۰).

کنکرسیونهای سپتارین موجود در گلسنگها و شیلهای (دریایی و غیر دریایی) جزو ساختهای رسوبی و لایه های تغییر شکل یافته (seismites) در نظر گرفته شده و به تأثیر فعالیت تکتونیکی همزمان با رسوب گذاری نسبت داده شده اند (پرات، ۲۰۰۱) (شکل ۱).

گلسنگها هستند و تشکیل آنها عمدتاً به ترکیب اولیه گلسنگ نیز اشاره دارد (مراد و اشت، ۱۹۹۰ و آستین و اسکاچمن، ۱۹۸۸). ترکیب شیمیایی کنکرسیونها منعکس کنده ماهیت فرآیندهای شیمیایی در محیط دیاژنر نیز می باشد (رایسول، ۱۹۸۷ و سیکوو و خیم، ۲۰۰۶).

کانیهای سازنده کنکرسیونهای کربناته شامل کلسیت، دولومیت، سیدریت، آنکریت، رودوکروزیت و کلسیت با منیزیم بالاست که در برخی از آنها کوارتز و پیریت هم دیده می شود (نلسون و لورنس، ۱۹۸۴). تنوع کانی شناسی آنها به تفاوت شرایط حاکم بر محیط تشکیل و تغییر سریع در شرایط محیطی، ترکیب رسوبات میزبان و میزان رسوب گذاری نسبت داده می شود (سیکوو و خیم، ۲۰۰۶).

مطالعات زیادی برای نشان دادن تغییرات شیمیایی زونه در کنکرسیونهای کربناته انجام شده است (رایسول، ۱۹۷۱). این مطالعات بر این اصل کلی استوارند که بیشتر کنکرسیونهای کربناته به طور متعدد مرکز رشد کرده اند، بنابراین روند تغییر در ترکیب آنها از مرکز تا حاشیه، تغییرات پیش رونده ترکیب آب درون منفذی را نشان می دهد (موزلی، ۱۹۹۶). طبیعی است که این اصل نمی تواند در مواردی که سیمانی شدن به صورت همزمان در حجم کنکرسیون اتفاق می افتد، یعنی رشد فرآگیرنده



شکل ۱: مراحل تشکیل کنکرسیونهای سپتارین با دو نوع ترک خوردگی (پرات، ۲۰۰۱).

عبور از ترکمنستان و ایران وارد افغانستان می‌شود. این حوضه گسترش قابل ملاحظه‌ای در میدانهای گازی موجود در سه کشور مذکور دارد (افشار حرب، ۱۳۷۳). این حوضه از شمال به صفحه توران محدود می‌شود و مرز شمالی آن منطبق بر گسل عشق آباد و مرز جنوبی آن با رخمنوهای ناپیوسته‌ای از منشورها یا گوههای برافزاينده تیس قدیمی مشخص می‌شود که در شمال شرق فریمان و جنوب غربی مشهد رخمنون دارند (آقاباتی، ۱۳۸۳). در ژوراسیک میانی رسوب گذاری در حوضه کپه‌داغ بر روی حاشیه جنوبی صفحه توران شروع می‌شود، که احتمالاً منعکس کننده کشنیده پشت قوسی (back-arc extention) همراه با فرورانش به طرف شمال است (لیریس و مانبی، ۱۹۹۹ و آقاباتی، ۱۳۸۳). تاریخچه تغییر شکل، فرورانش و رسوب گذاری ژوراسیک زیرین تا میانی در جنوب آسیا پیچیده است و به طور محلی تغییر می‌نماید. نهشته‌های آواری ژوراسیک میانی سازند کشف رود، ممکن است نتیجه حوادث فشارشی سیمیرین میانی باشند، اما شواهدی از صفحه توران - شرق دریای خزر به گسلهای کششی تأثیر گذار بر رسوب گذاری در طول این دوره اشاره می‌کند (لیریس و مانبی، ۱۹۹۹).

از نظر چینه‌نگاری سازند کشف رود غالباً شامل شیلهای تیره‌رنگ، ماسه‌سنگ و کمی سنگ‌آهک و کنگلومراست که از نظر سنگ‌شناسی و گسترش صحرایی شباهت زیادی به رسوبات زغال‌دار ژوراسیک البرز و ایران مرکزی دارند. برش الگوی این سازند در ۱۵ کیلومتری شرق روستای باغ‌بی‌رش راه مشهد به معدن زغال‌سنگ آق‌دریند (اندازه گیری شده است (مدنی، ۱۹۷۷ و افشار حرب، ۱۳۷۳). بخش زیرین آن با برتری افقهای شیلی و میان لایه‌های ماسه‌سنگی

برخی معتقدند علاوه بر زمین لرزه، افزایش فشار درون منفذی هم ممکن است باعث تشکیل کنکرسیون سپتارینی شود. این وضعیت در کنکرسیونهای غیرسپتارینی نیز دیده می‌شود اما به اندازه‌ای نیست که باعث ترک خوردگی شود (هونسلو، ۱۹۹۷).

در این مقاله سعی بر این است که ضمن تعیین شرایط و نحوه تشکیل کنکرسیونهای موجود در افقهای شیلی سازند کشف رود، ارتباط آنها با شرایط محیط رسوبی این سازند مشخص و جایگاه آنها در کاربردهای چینه‌نگاری سکانسی تعیین گردد. سازند کشف رود (ژوراسیک میانی) در بخش‌های پل گزی و قره‌قیطان به ویژه در بخش‌های زیرین با برتری واحدهای شیلی مشخص است. واحدهای شیلی این سازند در بخش‌هایی (به ویژه برش قره‌قیطان) حاوی کنکرسیونهای بیضوی - کروی است، که امکان تقسیم‌بندی افقهای شیلی به بخش‌های کوچک‌تر را میسر می‌سازد. به دلیل تشکیل این مجموعه شیلی در شرایط عمیق (مدنی، ۱۹۹۷ و پورسلطانی و گیلبلینگ، ۲۰۰۶) و عدم تنوع رخسارهای در آنها، امکان تجزیه و تحلیل تغییرات سطح نسبی آب دریا به راحتی در آنها میسر نیست. گسترش این عوارض در مراحل اولیه دیاژنز، یعنی زمانی که محیط دیاژنز، متأثر از شرایط محیطی است (Eodiagenesis) صورت می‌گیرد، بر این اساس می‌توان از آنها در تجزیه و تحلیل شرایط محیطی و فهم تغییرات سطح نسبی آب دریا استفاده نمود (مراد و همکاران، ۲۰۰۰). بنابراین گسترش آنها می‌تواند به تجزیه و تحلیل این سازند در چارچوب چینه‌نگاری سکانسی کمک نماید.

موقعیت زمین‌شناسی

پنهنه رسوبی کپه‌داغ شامل کوههای هزار مسجد در شمال شرق ایران است که از شرق دریای خزر شروع و پس از

لایه‌بندی نازک با ضخامت ۴۰۰ تا ۷۰۰ متر (افشار‌حرب، ۱۳۷۳) و سازند مزدوران با سن آکسفوردین - تایتونین از سنگهای کربناته ضخیم لایه و صخره‌ساز و لایه‌های فرعی مارن و شیل تشکیل شده است (آدابی و آگر، ۱۹۹۷). ضخامت سازند کشف‌رود در این برش ۸۱۳ متر است. مختصات جغرافیایی این برش $36^{\circ}12'22''$ عرض شمالی و $60^{\circ}43'06''$ طول شرقی می‌باشد. راه دسترسی به این برش از طریق جاده اصلی مشهد - سرخس امکان‌پذیر است. این برش بین روستاهای پل‌گزی و قره‌قیطان قرار دارد که فاصله آن از روستای پل‌گزی حدود ۲/۵ کیلومتر و تا روستای قره‌قیطان ۵/۵ کیلومتر است. برش قره‌قیطان در شمال رودخانه کشف‌رود برداشت شده است (شکل ۲).

روش مطالعه

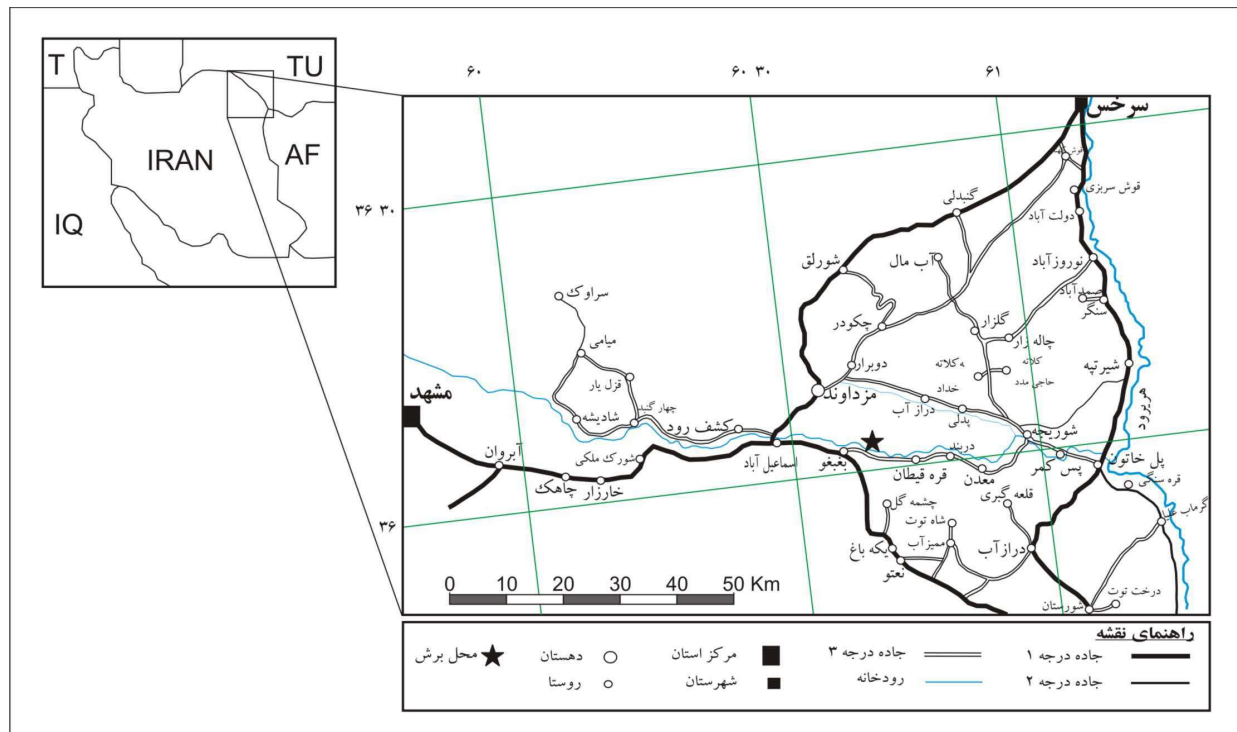
در بررسیهای صحرایی مشخص گردید که کنکرسیونها در درون رخساره‌های شیلی و در افقهای خاصی از آنها گسترش یافته‌اند (شکل ۳). با تهیه نمودار رسوب‌شناسی (sedimentological log)، موقعیت کنکرسیونها در درون شیلها و کل توالی مورد مطالعه مشخص گردید. از کنکرسیونها و احداثهای شیلی در برگیرنده نمونه‌برداری انجام گردید. مشخصه‌های کانی‌شناسی و تغییر ترکیب شیمیایی کنکرسیونها از مرکز به حاشیه با انجام آزمایش‌های کلسی‌متري به روش درصد حجمی (کارور، ۱۹۷۱) و XRD و پتروگرافی میسر گردید (شکل ۴). به این منظور از بخش‌های مختلف کنکرسیونها و شیلها به اندازه ۰/۵ گرم به تعداد ۱۴ نمونه تهیه و بعد از تبدیل به پودر به آزمایشگاه ارسال شد، همچنین برای انجام آنالیز کلسی‌متري از همان بخشها به اندازه ۱ گرم پودر تهیه گردید. آنالیزهای XRD با دستگاه آنالیزگر فلیپس (Philips Analytical) با تیوب آند

مشخص است که به سمت بالا بر میزان افقهای ماسه‌سنگی افزوده می‌شود و تغییرات جانبی رسوبات در منطقه گسترده است. به طور کلی اندازه دانه‌ها از جنوب شرق به سمت شمال و غرب کاهش می‌یابد، به همین دلیل به نظر می‌رسد نهشته‌های سازند کشف‌رود حاصل فرسایش برجستگی‌های تریاس و یا فرابومهای قدیمی‌تری است که در جنوب حوضه کپه‌داغ قرار داشته و مواد حاصل از فرسایش از سمت جنوب به داخل فرونژینی دارای روند شرقی - غربی به درازای ۵۰۰ کیلومتر منتقل می‌شده است (آقاباتی، ۱۳۸۳؛ پورسلطانی و همکاران، ۱۳۸۵ و پورسلطانی و همکاران، ۲۰۰۶). بررسی‌های صورت گرفته در مورد شرایط محیطی این سازند نشان داده است که نهشته‌های این حوضه شامل سه رخساره رسوبی شاخص از نوع شیل سیاه، توربیدیات و رخساره پرودلتا می‌باشد که در دو محیط کاملاً متفاوت نهشته شده‌اند. افقهای شیلی بیشتر به رسوب‌گذاری در شرایط عمیق و آرام نسبت داده شده‌اند. افقهای آواری (ماسه‌سنگها) به توربیدیات‌هایی که به طور متناسب این بخش از حوضه را تحت تأثیر قرار می‌داده‌اند، نسبت داده می‌شوند (مدنی، ۱۹۷۷ و پورسلطانی، ۱۳۸۶). فراوانی مواد آلی در افقهای شیلی به قدری است که برخی منابع آنها را به عنوان منشأ میادین گازی شمال شرق ایران ذکر می‌نمایند (افشار‌حرب، ۱۳۷۳؛ حسین‌پور صیامی، ۱۳۸۲؛ کرامتی، ۱۳۷۵).

برش قره‌قیطان در ۴ کیلومتری شرق برش پل‌گزی (محل برش الگو) قرار دارد. در این منطقه سازند کشف‌رود با ناپیوستگی زاویه‌دار بر روی سازند سینا قرار می‌گیرد و به طور هم‌شبی به سازند مزدوران در بالا منتهی می‌شود. سازند سینا با سن لادنین پسین تا کارنین پیشین از توالی ماسه‌سنگ و شیل توفی، مارن و سنگ آهک توفی با

اجزا (تاکر، ۲۰۰۳) صورت گرفته است. در این مطالعه جمع آوری نمونه‌ها در مهرماه ۱۳۸۶ صورت گرفته و بررسیهای پتروگرافی و آنالیزهای XRD آن در اردیبهشت ماه ۱۳۸۷ به پایان رسید.

PC-APD و نرم‌افزار پراش سنج PW1840 انجام شد. مشخصه‌های بافتی آنها با استفاده از روش‌های پتروگرافی مورد بررسی قرار گرفت. درصد اجزا آواری موجود در کنکرسیون با استفاده از نمودارهای تخمین درصد



شکل ۲: موقعیت جغرافیایی برش مورد مطالعه و راههای دسترسی به آن.



شکل ۳: نمای کلی از واحدهای شیل - غالب، دارای کنکرسیون در منطقه مورد مطالعه



شکل ۴: نقاط نمونه برداری برای آنالیزهای کلسی متری و XRD از حاشیه به مرکز کنکرسیون.

بحث

رسی همچون ایلیت، کائولینیت و کلریت را نشان می دهد، اما در نمونه های کنکرسیون این کانی های رسی بسیار ناچیز هستند (شکل ۱۰). اندازه گیری ماده آلی کنکرسیونها با استفاده از اکسید کننده آب اکسیژن نشان داد که ماده آلی موجود در آن بسیار ناچیز است.

قرار گیری کنکرسیونها در افقهای موازی با لایه بندی عمومی شیلها نشان دهنده تأثیر شرایط محیطی در گسترش آنهاست. از طرفی وجود آثار آشفتگی زیستی بدون تغییر شکل (اولیه)، نشان دهنده آن است که کنکرسیونها در مراحل قبل از فشردگی ایجاد شده اند، در غیر این صورت بر اثر فشردگی پیش از سیمانی شدن (فسردگی قبل از تشکیل کنکرسیون) باید دچار تغییر شکل می شدند و جهت یافتنگی نشان می دادند. علاوه بر اینها نتایج آنالیز XRD کنکرسیونها نشان می دهد که آنها کانی رسی اند کی نسبت به شیلهای دربر گیرنده دارند، بنابراین می توان نتیجه گرفت که کنکرسیونها در افقهای غنی از آهک گسترش یافته اند. وجود کوارتز و فلدسپار در آنها از تأثیر شرایط محیطی و تاثیر ذرات آواری حمل شده از خشکی حکایت دارد. گسترش سیمان کربناته در این افقها به شرایط مساعد در حوضه رسوی (کمی بعد از رسوب گذاری) مربوط است. افزایش سطح نسبی آب دریا و آرامش نسبی حوضه (کاهش

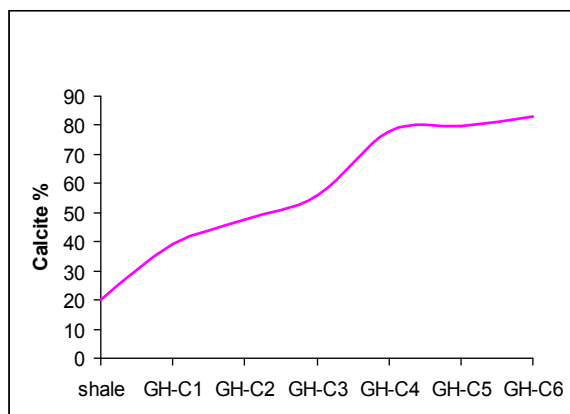
کنکرسیونهای مورد مطالعه معمولاً بیضوی شکل بوده و قطر بزرگ آنها بین ۲۰-۱۷ سانتی متر و قطر کوچک بین ۱۵-۱۰ سانتی متر می باشند (شکل ۵). درصد کلسیت در این کنکرسیونها از مرکز به سمت حاشیه کاهش می یابد (شکل ۶). این کنکرسیونها اساساً محتوی کلسیت بالاتری (۳۹٪-۸۲٪) حجمی) نسبت به شیل در بر گیرنده (۲۴٪ حجمی) دارند. اجزای تشکیل دهنده آنها شامل کوارتز نیمه زاویه دار، فلدسپار، خرده های فسیلی نظیر گاستروپود و پیریت است که در ماتریکسی گلی با کلسیت میکرو کریستالین قرار دارند. شواهدی از آثار آشفتگی زیستی در برخی کنکرسیونها دیده می شود که بدون تغییر شکل هستند (شکل ۷). درون حجرات برخی گاستروپودها را پیریت و ماتریکسی از جنس زمینه کنکرسیون پر می کند (شکل ۸). از دیگر اجزای تشکیل دهنده این کنکرسیونها اکسید آهن است که درصد آن در حاشیه کنکرسیون فراوانتر است (شکل ۹). از طرفی مقدار اجزای آواری از حاشیه به مرکز کنکرسیون تغییری نشان نمی دهد. آنالیزهای XRD نمونه های کنکرسیون وجود کوارتز، کلسیت و فلدسپار را نشان می دهد، در حالی که آنالیز XRD نمونه های شیل دربر گیرنده کنکرسیون کانی های

کلسیم موجود در این افقها ممکن است به خرده سنگهای کربناته و فسیلهای حمل شده از خشکی هم مربوط باشد.

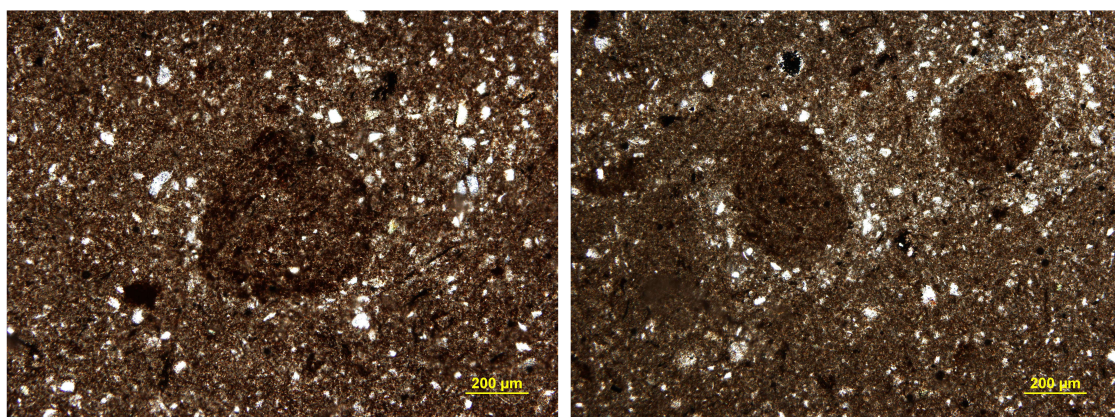
میزان رسوب گذاری) امکان تبادل شیمیایی بین رسوبات تازه نهشته شده و آب دریا را فراهم نموده است. منشأ کربنات



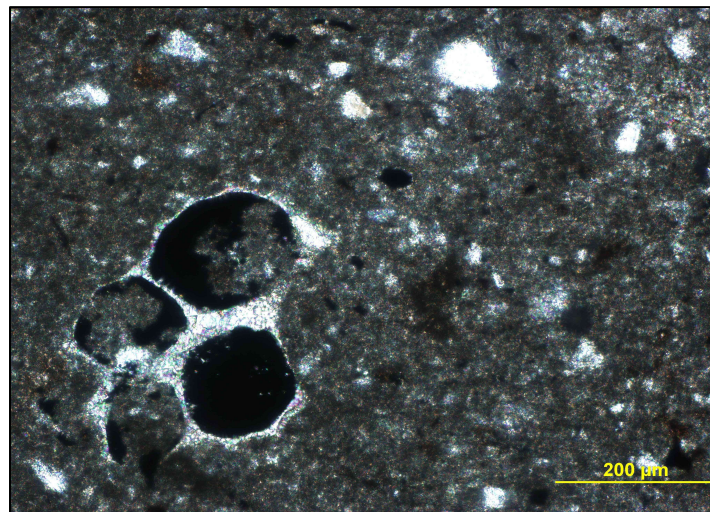
شکل ۵: کنکرسیونهای بیضوی شکل در واحد شیلی بخش زیرین سازند کشفرود در برش قره قیطان.



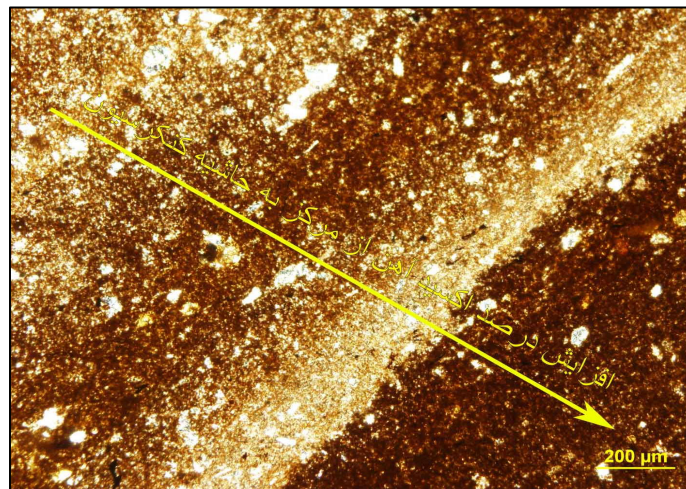
شکل ۶: نمودار تغییر مقدار کلسیت در کنکرسیونهای بیضوی (GH-C1 شماره نمونه مربوط به حاشیه کنکرسیون و GH-C6 شماره نمونه مربوط به مرکز کنکرسیون می باشد).



شکل ۷: آثار آشفتگی زیستی در کنکرسیون که بدون تغییر شکل باقی مانده اند.



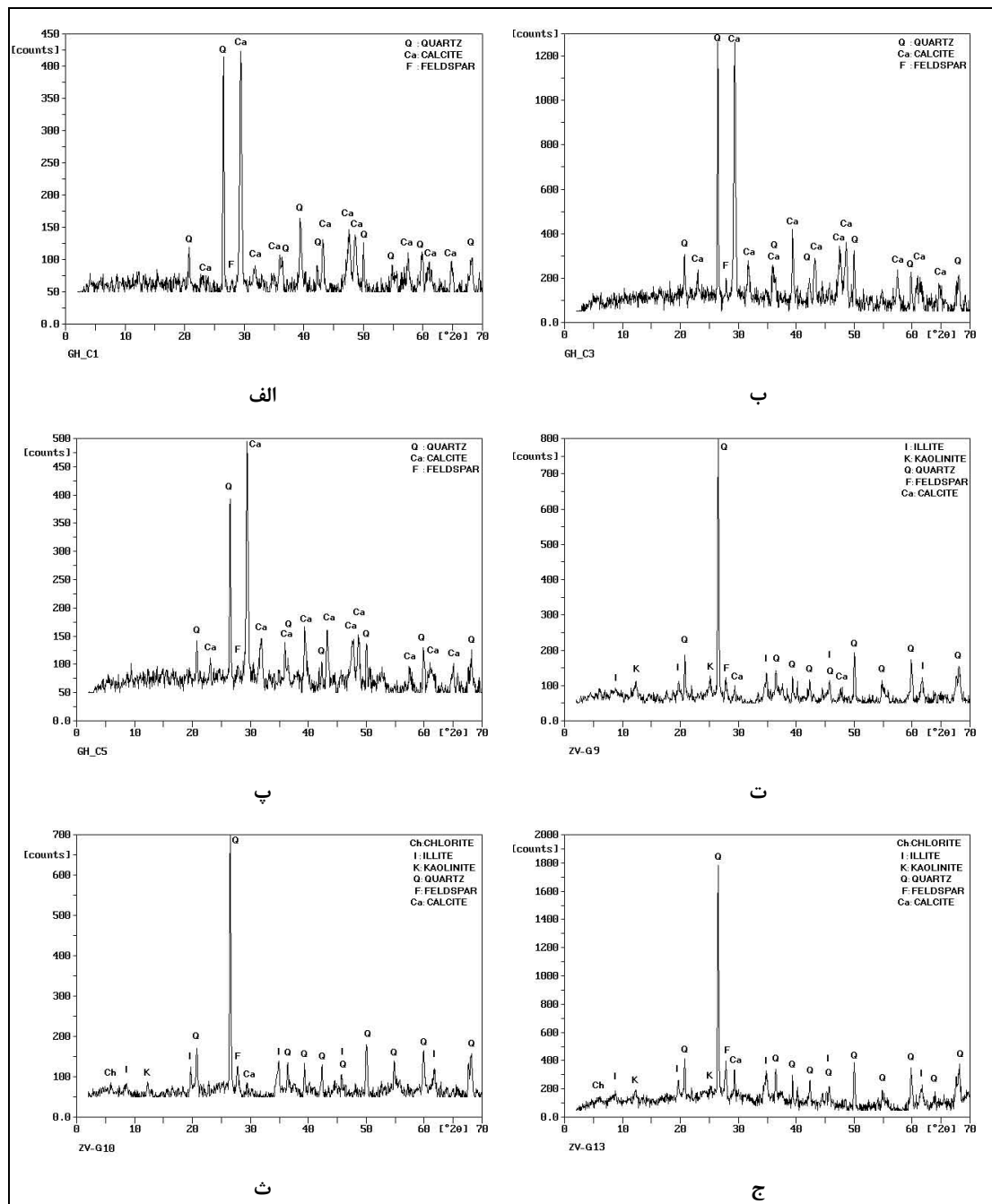
شکل ۸: پرشدگی حجرات گاستروپود با پیریت و ماتریکسی از جنس زمینه کنکرسیون.



شکل ۹: افزایش درصد اکسید آهن در جهت پیکان و جهت پیکان به سمت حاشیه خارجی کنکرسیون می‌باشد (نور پلازما).

تأثیر آبهای شیرین ورودی به حوضه رسوی مربوط است. عمیق تر شدن شرایط، یا تأثیر کمتر حوضه از خشکی (بار رسوی+آب شیرین) شرایط مساعدی برای گسترش افچهای شیلی غنی از کربنات کلسیم (سیمان ائودیاژنیک) فراهم نموده که در مراحل بعد به صورت کنکرسیون در شیلها ظاهر یافته‌اند. مدل تشکیل این کنکرسیونها در شکل ۱۲ آورده شده است.

با در نظر گرفتن شرایط شیمیایی (به ویژه PH) لازم برای گسترش کانیهای رسی و کلسیت (شکل ۱۱)، به نظر می‌رسد که گسترش افچهای غنی از کنکرسیون در شرایطی صورت گرفته است که محیط رسوی با PH نسبتاً بالا (قلیایی) مشخص بوده است. افچهای شیلی فاقد کنکرسیون (و غنی از کانیهای رسی) با توجه به فراوانی کانیهای رسی موجود در آن، در شرایط محیطی با PH پایین‌تر (اسیدی‌تر) نسبت به شیلهای حاوی کنکرسیون گسترش یافته‌اند. این امر قطعاً به



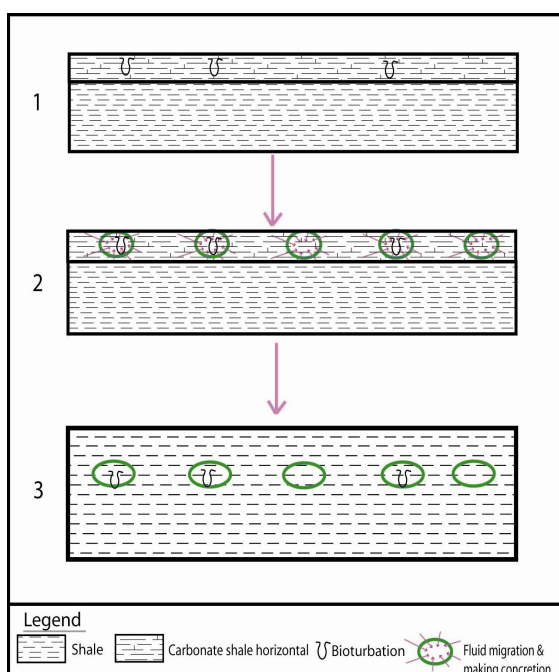
شکل ۱۰: الف تا پ مربوط به نتایج آنالیز XRD نمونه‌های کنکرسیون، تاچ مربوط به نتایج آنالیز XRD نمونه‌های شیل در برگیرنده کنکرسیون می‌باشد.

برداشت‌های زمین ساختی وسیعی در منطقه انجام گیرد که در این مطالعه میسر نگردید.

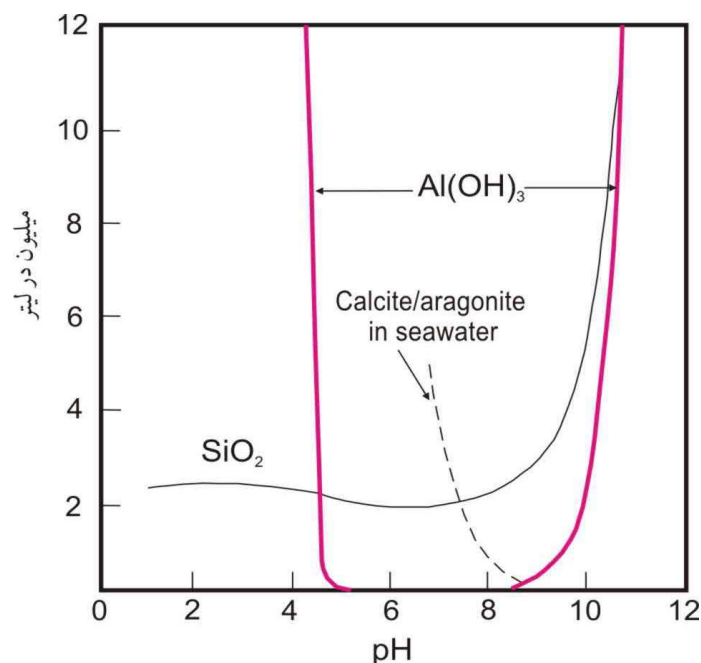
جهت اظهارنظر قطعی در خصوص سازوکار مهاجرت سیالات نیاز به مطالعات گسترده در سطحی وسیع تر است. برای تعیین تأثیر تکتونیک در تشکیل کنکرسیونها باید

تشکیلشان در یک عمق معین بوده‌اند. زیرا افزایش عمق دفن در حین تشکیل باعث فشرده شدن بخش‌های سیمانی نشده می‌شود و در نتیجه در هر مرحله از افزایش عمق و تهشیینی سیمان، درصد اجزای آواری افزایش خواهد یافت (موزلی، ۱۹۹۶) (شکل ۱۳). از طرفی شکل کنکرسیونها و تفاوت اندک بین قطر بزرگ و کوچک آنها نیز نشان از گسترش آنها در مراحل اولیه دیاژنز (ائویدیاژنز) می‌باشد (زیلاخر، ۲۰۰۱).

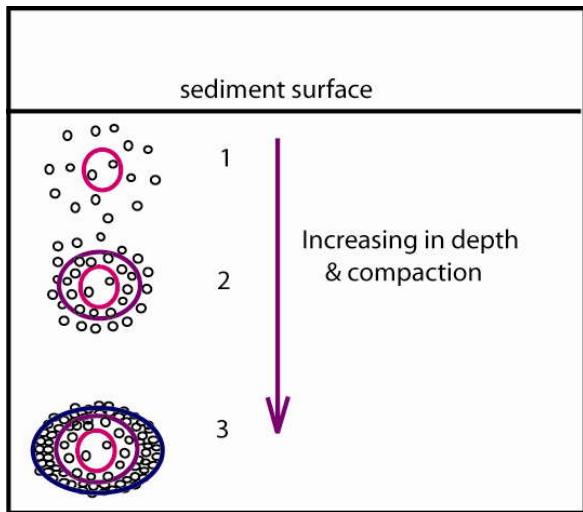
نتایج کلسی‌متربی (شکل ۶) نشان‌دهنده رشد متعددالمرکز به طرف خارج کنکرسیونهاست. بنابراین با توجه به روش‌های متداول تشکیل کنکرسیونها (رایسول، ۱۹۷۱؛ رایسول و فیشر، ۲۰۰۰ و پرات، ۲۰۰۱) در این نوع کنکرسیونها گسترش سپتارین انتظار نمی‌رود. از این رو بررسی نقش زمین‌لرزه در تشکیل این کنکرسیونها تنها با مطالعه آنها میسر نیست. افزایش مقدار کلسیت از حاشیه به طرف مرکز کنکرسیون بدون تغییر در مقدار اجزای آواری نشان می‌دهد که کنکرسیونها در سراسر مدت



شکل ۱۲: مدل ارائه شده برای تشکیل کنکرسیون در منطقه مورد مطالعه. در مرحله اول بعد از رسوب‌گذاری شیل با افزایش عمق آب و کاهش ورودی به حوضه (زمان آرامش)، میزان کربنات کلسیم در رسوبات نهشته‌شده افزایش یافته و بلاعسله با مهاجرت سیالات حاوی کربنات کلسیم در همان افقها (که در ارتباط با محیط رسوبی بوده‌اند) هسته‌های اولیه گسترش کنکرسیونها پایه‌گذاری شده‌است و به تدریج با تجمع کربنات کلسیم در اطراف این هسته‌ها کنکرسیونها تکامل یافته‌اند (مرحله ۲) و در نهایت مجددًا به دلیل ورود آواری به حوضه مقدار آهک کاهش یافته و رسوب‌گذاری شیل ادامه یافته است (مرحله ۳).



شکل ۱۱: انحلال سیلیس آمورف، کلسیت آرکونیت و هیدروکسید آلومینیوم به صورت تابعی از pH در دمای ۲۵°C (فریدمن و ساندرز با تغییرات، ۱۹۷۸ و میسون و مور، ۱۹۸۲)



شکل ۱۳: در کنکرسیونهایی که در حین افزایش عمق تشکیل می‌شوند با افزایش عمق و در نتیجه فشردگی درصد اجزای آواری از مرکز به طرف حاشیه کنکرسیون افزایش می‌یابد (Mozley, 1996). به‌گونه‌ای که مرحله ۱ اجزای آواری کمتری نسبت به مرحله ۲ دارد و در مرحله ۲، اجزای آواری کمتر از مرحله سوم است. به تغییر شکل کنکرسیون در حین افزایش عمق دقت شود.

درون شکستگی باشند و از لامیناسیون اصلی شیلها تبعیت نکنند، مشاهده نگردید.

وجود پیریت و ماتریکس از جنس زمینه در درون حجرات گاستروپود می‌تواند دلیلی باشد بر این که پیریت تأخیری است و به طور اولیه تشکیل نشده‌است. آهن مورد نیاز برای ایجاد پیریت احتمالاً از اجزای آواری حاوی آهن که در شیلها و ورقه‌های ماسه‌ای موجود در آنها وجود داشته، تأمین شده است و گوگرد (S) مورد نیاز پیریت نیز از متانوژن دفنی ماده آلی موجود در شیلها تأمین گردیده است (کانتوروویکز، ۱۹۸۵). از طرف دیگر افزایش مقدار اکسید آهن به طرف حاشیه کنکرسیون متأثر گردیدن کنکرسیونها از هوازدگی بعد از رخمنون یافتن در سطح (تلودیاژن) را نشان می‌دهد و در واقع سیالات دارای اکسیژن که سطح خارجی کنکرسیون را تحت تاثیر قرار داده‌اند باعث تشکیل اکسید آهن شده‌است. اکسیده نشدن پیریت به دلیل قرار گیری آن درون حجره گاستروپود است.

فراوانی کلسیت در کنکرسیونها نسبت به سنگهای دربرگیرنده نیز معرف گسترش آنها در طی دیاژن اولیه (ائودیاژن) است (هربرت و کامپتون، ۲۰۰۷). چون در طی ائودیاژن، کنکرسیون در ارتباط با محیط رسوبی بوده، مقدار کلسیت بیشتری از محیط رسوبی تأمین می‌شده است و در صورتی که گسترش آنها در طی دیاژن دفنی صورت می‌گرفت، به دلیل بسته بودن سیستم تقاضت زیادی در ترکیب آنها با سنگهای دربرگیرنده مشاهده نمی‌گردید. از طرف دیگر در دیاژن دفنی، فشردگی رسوب (به ویژه گلسنگها و شیلها) باعث کاهش تخلخل و تغییر نظم درونی می‌شود (لش و بلاد، ۲۰۰۷)، بنابراین گسترش کنکرسیونها نمی‌تواند مربوط به دفن باشد مگر این که فشردگی بیش از حد باعث شکسته شدن شیلها شده و محلولهای بیرون رانده شده از رسوب در این شکستگیها، تشکیل کنکرسیون دهنده که در منطقه مورد مطالعه چنین کنکرسیونهایی که

شیل تیره قاعده سازند، گسترش آنها را در شرایط عمیق و بالابودن سطح نسبی آب دریا را نشان می‌دهد. بر اساس توضیحات ارائه شده، افقهای کنکرسیون افزایش چشمگیر میزان آهک در لایه‌های شیلی را نشان می‌دهند. این افزایش به دوره‌های با افزایش سطح نسبی آب دریا و کاهش در میزان ورود رسوبات آواری به حوضه منتب می‌گردد. بر این اساس شرایط تشکیل آنها مشابه تشکیل زمینهای سخت (Hardground) در دوره‌های با حداکثر جایه‌جایی خط ساحلی به سمت خشکی است (کاتونو، ۲۰۰۶). به عبارت دیگر نشان‌دهنده دوره‌های کمبود تأمین رسوب (Sediment starvation) از خشکی هستند و عمدتاً به عنوان مقطع مترaccum (Condensed section) در نظر گرفته می‌شوند. نمونه‌های مشابهی از لایه‌ها و کنکرسیونهای آهکی و لایه‌های چرت موجود در توالیهای توریدایت دانه‌ریز از حوضه تانکو (Tanqua) گزارش شده است (ویکنر و بوما، ۲۰۰۰). شیلهای دربر گیرنده کنکرسیونها دارای رنگ تیره هستند و گاهی در آنها ورقه‌های بسیار نازک ماسه‌سنگ با اثر فسیلی هلمینتوپسیس (*Helminthopsis*) مشاهده می‌شود (شکل ۱۴-الف). با حضور ورقه‌های نازک ماسه‌سنگ مربوط به جریانات توریدایتی، حجم کنکرسیونها در شیل کاهش یافته و رفته‌رفته کاملاً ناپدید می‌گردد. وجود اثر فسیلی هلمینتوپسیس که از ایکنوفاسیسهای نریتس می‌باشدند و مربوط به بخش عمیق دریا (Slope and Basin) هستند (بروملی و اکدال، ۲۰۰۶ و پمبرتون و همکاران، ۲۰۰۶)، نشان می‌دهد شیلهای میزبان به دلیل داشتن کربنات کلسیم و این اثر فسیلی، متعلق به مناطق عمیق حوضه (بالاتر از عمق موازن کربنات کلسیم (CCD)) می‌باشدند. به نظر می‌رسد که افقهای ماسه‌سنگی در درون شیلهای مورد مطالعه به بازه‌های زمانی مربوط بوده است که ورود آواریها از خشکی در حداکثر مقدار خود بوده است، یعنی حداکثر پایین افتادگی سطح آب دریا، زیرا در این زمان فضای رسوب گذاری در

کاربرد کنکرسیونها در برسیهای چینه‌نگاری سکانسی
استفاده از ساختهای دیاژنزی در چینه‌نگاری سکانسی در دهه‌های اخیر متداول گردیده است (وردن و مراد، ۲۰۰۳). کنکرسیونها علی‌رغم گسترش در محیط دیاژنسی، به دلیل ارتباط شرایط گسترش آنها با محیط رسوب گذاری می‌توانند در تعیین سطح نسبی آب دریا و برسیهای چینه‌نگاری سکانسی مورد استفاده قرار گیرند. نمودار رسوب‌شناختی کل برش مورد مطالعه (شکل ۱۵) دارای یک ماهیت درشت‌شوندگی به طرف بالا (در کل توالی) می‌باشد، که به طور دقیق‌تر در بخش زیرین برش کنگلومرا و ماسه‌سنگ پیش‌رونده بر روی ناپیوستگی زاویه‌دار به واحدهای شیلی ضخیم با ورقه‌های نازک ماسه‌سنگ و کنکرسیون تبدیل می‌شود و بنابراین افزایش عمق و پیش‌روی دریا دیده می‌شود. بعد از این پیش‌روی با ظهور واحد کنگلومرایی (که کاتال تغذیه‌کننده مخروطهای زیردریایی در نظر گرفته می‌شود و معادل سیستم تراکت تراز افت-FRST است)، کنکرسیونها به تدریج کاهش یافته و ناپدید می‌شوند و واحدهای ماسه‌سنگی ضخیم‌تر می‌گردد. همراه این تغییرات اثرات فسیلی پلانولیتس، کندریتس و تانیدیوم ظاهر می‌شوند (شکل‌های ۱۴-ب تا پ) و از این پس کل برش درشت‌شوندگی محسوسی را به طرف بالا نشان می‌دهد. این درشت‌شوندگی در ابتدا تدریجی و آهسته است ولی در بخش بالای برش مورد مطالعه درشت شوندگی و کاهش عمق با سرعت بیشتری صورت می‌گیرد. به طوری که در ابتدا بخش‌های شیلی بسیار ضخیم‌تر از بخش‌های ماسه‌ای (مخروط افکنه زیردریایی) است ولی بخش بالایی با افزایش شدت کاتالی شدن و کاهش ضخامت شیل و افزایش سیمان اثودیاژنسی اکسید آهن (ظهور ماسه‌سنگ و شیلهای ارغوانی در بخش فوقانی برش مورد مطالعه) مشخص می‌شود و بالاخره به دولومیتهای سازند مزدوران ختم می‌گردد. ظهور کنکرسیونها در بخش

(کاتوننو، ۲۰۰۶).

سکوی قاره‌ای (Continental shelf) منفی بوده است



ب



الف



ت

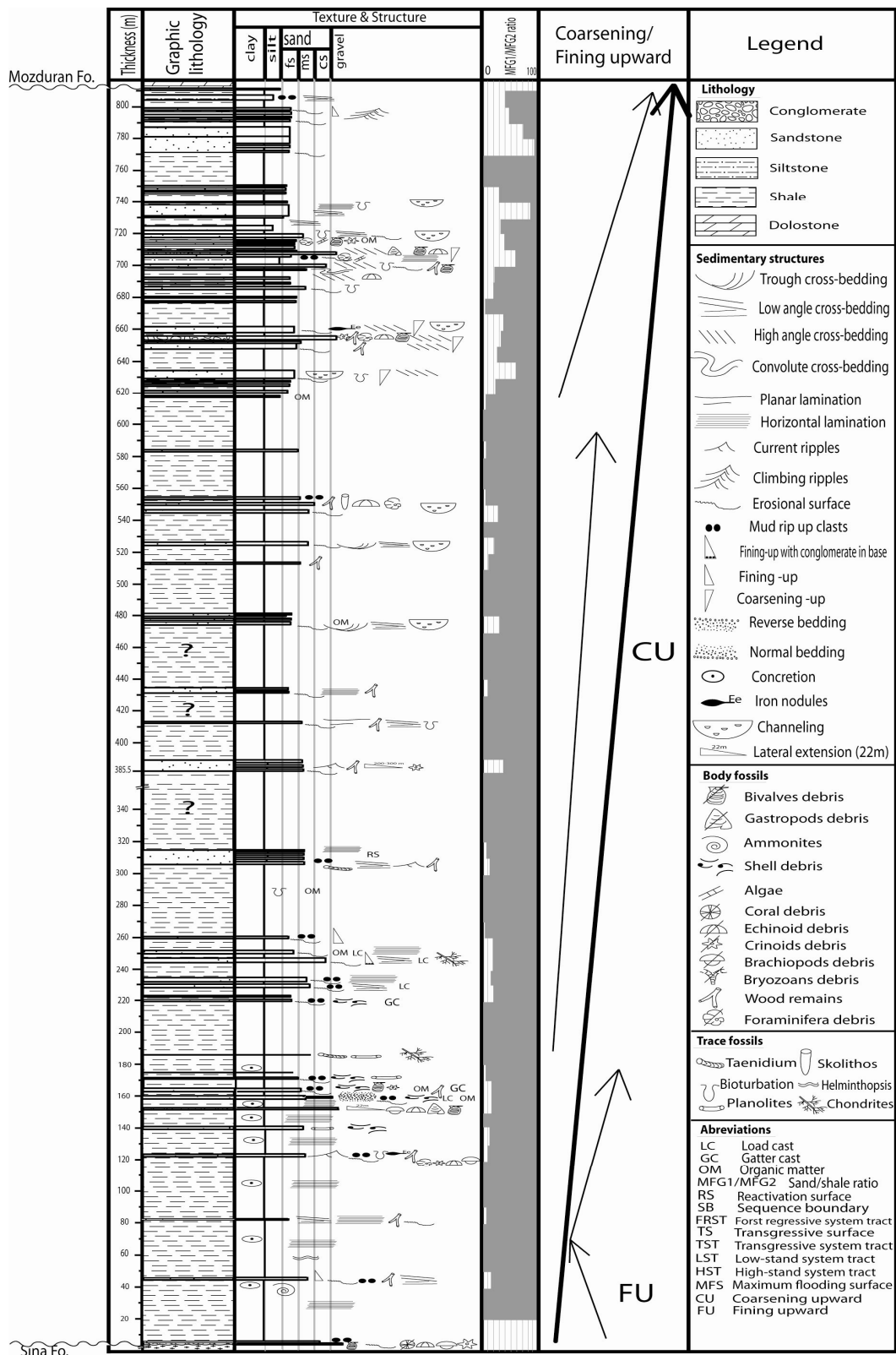


پ

شکل ۱۴: (الف) آثار فسیلی هلمینثوپسیس (*Helminthopsis*), (ب) تانیدیوم (*Taenidium*) و پلانولیتیس (*Planolites*) (الف و ب شناسایی شده توسط عباسی)، (پ) کندریتیس (پ و ت شناسایی شده توسط برومی)، (ت) اسکولایتیوس (*Skolithos*) (ت شناسایی شده توسط عباسی).

می‌توان افزایش سطح نسبی دریا را نتیجه گرفت، لکن فهم مقدار این افزایش در چنین بررسیهایی ممکن نیست. با توضیحات مذکور تغییرات کوچک مقیاس سطح نسبی آب دریا در بخش‌های عمیق حوضه که تنوع لیتولوژی در آنها اندک است، بر اساس گسترش کنکرسیونها و عدسيهای غنی از ماسه تا حدودی محدود می‌باشد.

گرچه گسترش افقهای غنی از کنکرسیون و لایه‌های نازک ماسه‌ای در افقهای شیلی این سازند معرف تغییرات سطح نسبی آب دریاست، اما این عوامل به تغییرات کوچک مقیاس در حوضه اشاره می‌نمایند، به طوری که این تغییرات در بخش‌های مختلف حوضه قابل رویابی نمی‌باشد. بر این اساس با افزایش افقهای حاوی کنکرسیونهای کربناته



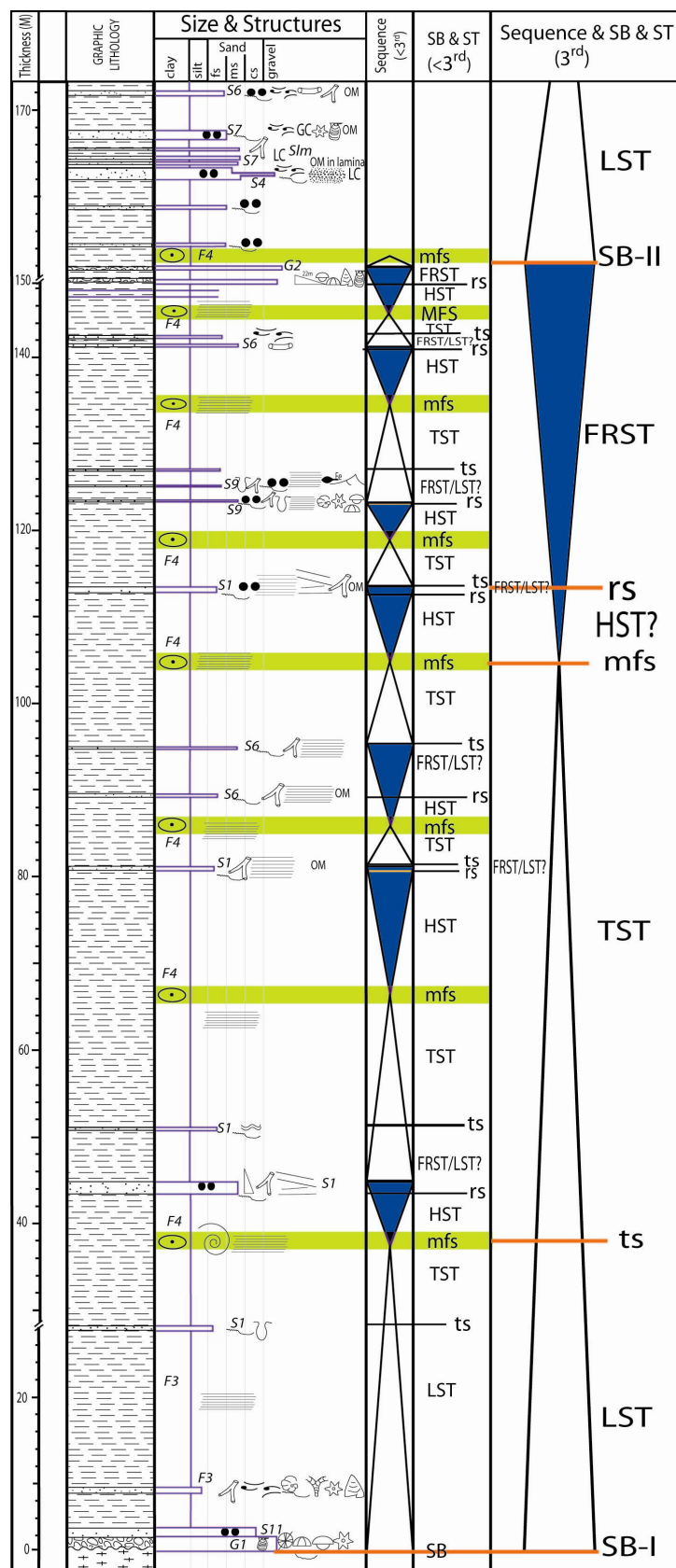
شکل ۱۵: نمودار رسوب‌شناسی برپه مورد مطالعه. در بخش زیرین سازند سینا و در بخش بالایی دولومیت مزدوران قرار دارد.

عدسیهای ماسه مقدار کنکرسیونها کاهش یافته و ناپدید می‌شوند. ناپدید شدن کنکرسیونها در کل برش ادامه می‌یابد و آثار فسیلی که نشان‌دهنده شرایط کم عمق‌تر هستند از جمله اسکولولایتوس (*Skolithos*), کندریتیس (*Chondrites*) و پلانولیتیس (*Planolites*) از این پس ظهور می‌یابند و به طرف بالای برش مورد مطالعه درصد ماسه‌سنگها افزایش می‌یابد. از طرفی تغییر ساختها (از لامیناسیون افقی به لایه‌بندی متقطع و تراف) و فرم بدنه ماسه‌سنگی (از ورقه‌ای به عدسی و کانالی شکل) نیز تأیید کننده کم عمق‌شدگی در بخش‌های بدون کنکرسیون است. این ویژگیها نشان می‌دهد حداکثر بالآمدگی سطح آب دریا در کل برش، در این بخش شیلی دارای کنکرسیون اتفاق افتاده و دیگر بالا آمدگیهای سطح آب دریا در کل برش نسبت به بخش دارای کنکرسیون، کمتر بوده است (شکل ۱۵).

نتیجه‌گیری

حضور کنکرسیونهای کربناته ائودیاژنیکی به صورت موازی با لایه‌بندی عمومی شیلهای عمیق، نشان‌دهنده شرایط کاهش ورود رسوب از خشکی می‌باشد. با کاهش ورود رسوبات آواری به حوضه، افقهای کربناته شروع به تهشیینی نموده و مهاجرت بعدی سیالات منجر به رشد کنکرسیونها گردیده است. بنابراین تشکیل آنها مشابه زمینهای سخت (Hardgrounds) در دوره‌های حداکثر بالآمدگی سطح نسبی دریا (mfs) است. نتیجه این مطالعه تأکید بر توجه به عوارض ائودیاژنیکی است که در تفکیک افقهای مختلف شیلهای عمیق دریا و تعیین شرایط محیطی و سطح نسبی دریا بسیار مفیدند. با استفاده از شواهد زیر ائودیاژنز بودن کنکرسیونها به اثبات رسیده است:

به طور کلی بخش دارای کنکرسیون یکی از سکانسهای رده سوم موجود در برش مورد مطالعه است که با مرز ناپیوستگی زاویه‌دار (SBI) در زیر و ظهور کنگلومرا (معادل FRST) در بخش فوقانی (SBII) محدود می‌شود. در ابتدا با پیش‌روی سطح آب دریا مجموعه کنگلومرا و ماسه‌سنگ و شیل ریزشونده به طرف بالا (LST) تهشیست می‌یابند. سطح پیش‌روی (ts) با ظهور اولین افق حاوی کنکرسیون تعیین گردید و حداکثر پیش‌روی سطح دریا (mfs) در ضخیم‌ترین واحد شیلی دارای کنکرسیون و ورقه‌های نازک ماسه‌سنگ (فاقد قطعات گل کنده شده از واحدهای زیرین) مشخص شد. طبق تعریف ارائه شده در منابع، واحدهای رسویی بین این دو سطح به عنوان سیستم تراکت پیش‌رونده (TST) معرفی گردید (کوئه و چرچ، ۲۰۰۳). سطح پس‌رونده (rs) در قاعده اولین ماسه‌سنگ دارای آثار کشش و قطعات گل کنده شده از واحدهای زیرین مشخص شد. سیستم تراکت تراز بالا (HST)، در این بخش از توالی که مربوط به عمق زیاد حوضه است، گسترش زیادی ندارد (کاتوننو، ۲۰۰۶) و به بخشی از توالی شیلی که مابین سطح پس‌رونده و حداکثر غرقابی قرار گرفته، تعیین گردیده است. سیستم تراکت تراز افت (FRST) با ظهور ماسه‌سنگها دارای ساخت کششی (لایه‌بندی متقطع کم زاویه و ریپل مارک) و در انتهای کنگلومرا مشخص می‌شود. این ماسه‌سنگها و کنگلومرا دارای مشخصه افزایش قدرت جریان توربیدیات و ظهور جریانات خردیدار می‌باشند و به طرف بالا درشت و ضخیم‌شونده هستند. همراه با این ویژگیها وجود اثر فسیلی پلانولیتیس نشان از کم عمق‌شوندگی دارد. در نهایت تهشیینی کنگلومرا با سیمان اکسید آهن نشان‌دهنده حداکثر پایین افتادگی سطح آب دریاست، لذا سطح فوقانی این کنگلومرا به عنوان مرز سکانسی در نظر گرفته شد (شکل ۱۶). با افزایش ورقه‌ها و



شکل ۱۶: سکانسها و سیستم تراکتها بخش شیل غالب حاوی کنکرسیون.

تأثیر بررسی زمین لرزه در تشکیل آنها از طریق مطالعه صرف کنکرسیونها غیر ممکن است. برای این منظور باید به بررسیهای گسترده زمین ساختی در صحراء پرداخت که در این مطالعه چنین بررسیهایی میسر نگردید.

سپاس‌گزاری

آنالیزهای XRD موجود در این مقاله توسط پژوهشگاه شرکت نفت (RIPI) و با حمایت مالی اداره مدیریت اکتشاف صورت گرفته است و در نمونه برداری صحرایی از همکاری جناب آقای مهرداد سردار آبادی بهره‌مند بوده‌ایم، همچنین شناسایی آثار فسیلی توسط جناب آقایان دکتر عباسی و پروفسور برومی (Bromley) انجام شد که بدین وسیله کمال تشکر و سپاس‌گزاری را از آنها داریم.

- قرار گیری کنکرسیونها در افقهای موازی با لایه‌بندی عمومی شیلها.

- وجود آثار آشفتگی زیستی بدون تغییر شکل.

- شکل کنکرسیونها.

- بود کانی رسی در کنکرسیونها و وجود آنها در شیلها در برگیرنده کنکرسیونها.

- فراوانی چشمگیر کلسیت در کنکرسیونها نسبت به سنگهای در برگیرنده.

عدم تغییر در صد اجزای آواری از حاشیه به مرکز کنکرسیونها بر قرار گیری آنها در یک عمق معین در سراسر مدت شکل گیری شان دلالت دارد. کلسیتی شعاعی (نمونه برداری از مرکز به حاشیه) کنکرسیونها نشان داد آنها از نوع رشد کننده به طرف خارج هستند که به این ترتیب

منابع

- آفتابی، ع.، ۱۳۸۳. زمین‌شناسی ایران. انتشارات سازمان زمین‌شناسی و اکتشافات معدنی کشور، ۵۸۶ ص.
- افشار‌حرب، ع.، ۱۳۷۳. زمین‌شناسی کپه‌داغ. انتشارات سازمان زمین‌شناسی و اکتشافات معدنی کشور، ۲۷۶ ص.
- پورسلطانی، م.ر.، موسوی حرمسی، ر.، لاسمی، ی.، ۱۳۸۵. شناخت مجموعه‌های رخسارهای سازند کشف‌رود (ژوراسیک میانی) و تفسیر محیط رسوی آن. چکیده مقالات دهمین همایش انجمن زمین‌شناسی ایران، ۲۴۸ ص.
- پورسلطانی، م.ر.، ۱۳۸۶. پترولوژی، دیاژنر، تاریخچه رسوب گذاری و چینه‌نگاری سکانسی سازند کشف‌رود (باژو‌سین فوکانی، باتونین زیرین) در شرق حوضه کپه‌داغ. رساله دکتری زمین‌شناسی، گرایش رسوب‌شناسی و سنگ‌شناسی رسوی، دانشگاه آزاد اسلامی واحد علوم و تحقیقات، ۳۶۶ ص.
- حسین پورصیامی، ح.، ۱۳۸۲. ارزیابی توان هیدروکربورزاوی سازند کشف‌رود در تاقدیس خانگیران با استفاده از روش $\Delta LogR$. دانشکده فنی دانشگاه تهران، نشریه شماره ۴، ۳۸۱-۳۷۳:۳۷.
- کرامتی، م.، ۱۳۷۵. تشخیص طبقات سنگ منشأ هیدروکربورزاوی سازند کشف‌رود با استفاده از داده‌های نمودارهای ژئوفیزیکی درون چاهی. تحقیق، سال ۶، ۶۶-۵۶:۲۱.

- Astin, T.R., & Scotchman, I.C., 1988. The diagenetic history of some septarian concretions from the Kimmeridge Clay, England. In: Hounslow, M.W., Significance of localized pore pressures to the genesis of septarian concretions. *Sedimentology*, 44: 1133-1147.
- Bromley, R.G., & Ekdale, A.A., 2006. Composite ichnofabrics and tiering of burrows. In: Catuneanu, O., Principles of sequence stratigraphy. *Elsevier*, 375 p.
- Carver, R.E., 1971. Procedures in sedimentary petrology. *John Wiley and Sons*, 653 p.
- Catuneanu, O., 2006. Principles of sequence stratigraphy. *Elsevier*, 375 p.
- Coe, A.L., & Church, K.D., 2003. Sequence stratigraphy. In: Coe, A.L. (eds.), The sedimentary record of sea-level change. *Cambridge University Press*, 57-98.
- Curtis, C.D., Coleman, M.L., & Love, L.G., 1986. Pore water evolution during sediment burial from isotopic and mineral chemistry of calcite, dolomite and siderite concretions. In: Sik Woo, K., & Khim, B.K., Stable oxygen and carbon isotopes of carbonate concretions of the Miocene Yeonil Group in the Pohang Basin, Korea: Types of concretions and formation condition. *Sedimentary Geology*, 183:15-30.
- Friedman, G.M., & Sanders, J.E., 1978. Principles of sedimentology. *John Wiley & Sons*, 792 p.
- Herbert, C.T., & Compton, J.S., 2007. Depositional environments of the lower Permian Dwyka diamictite and Prince Albert shale inferred from the geochemistry of early diagenetic concretions, southwest Karoo Basin, South Africa. *Sedimentary Geology*, 194:263-277.
- Hounslow, M.W., 1997. Significance of localized pore pressures to the genesis of septarian concretions. *Sedimentology*, 44:1133-1147.
- Irwin, H., Curtis, C., & Coleman, M., 1977. Isotopic evidence for the source of diagenetic carbonate during burial of organic-rich sediments. In: Sik Woo, K. & Khim, B.K., Stable oxygen and carbon isotopes of carbonate concretions of the Miocene Yeonil Group in the Pohang Basin, Korea: Types of concretions and formation condition. *Sedimentary Geology*, 183:15-30.
- Kantorowicz, J.D., 1985. The petrology and diagenesis of Middle Jurassic clastic sediments, Ravenscar Group, Yorkshire. In: Burley, S.D. & Worden, R.H. (eds.) Sandstone diagenesis: Recent and ancient. *Blackwell Publishing*, 649 p.
- Lash, G.G., & Blood, D.R., 2007. Origin of early overpressure in the Upper Devonian Catskill Delta Complex, western New York state. *Basin Research*, 19:51-66.
- Lyberis, N., & Manby, G., 1999. Oblique to orthogonal convergence across the Turan Block in the Post-Miocene. In: Poursoltani, M.R., Moussavi-Harami, R. & Gibling, M.R., Jurassic deep-water fans in the Neo-Tethys Ocean: the Kashafrud Formation of the Kopet-Dagh Basin, Iran. *Sedimentary Geology*, 198:53-74.
- Madani, M., 1977. A study of the sedimentology, stratigraphy and regional geology of the Jurassic rocks of eastern Kopet-Dagh (NE Iran). *Unpublished Ph.D. thesis, Royal School of Mines, Imperial College, London*, 246 p.
- Mason, B., & Moore, C.B., 1982. Principles of geochemistry. *John Wiley & Sons*, 344 p.
- Morad, S., & Eshete, M., 1990. Petrology, chemistry and diagenesis of calcite concretions in Silurian shales from central Sweden. In: Hounslow, M.W., Significance of localized pore pressures to the genesis of septarian concretions. *Sedimentology*, 44:1133-1147.
- Morad, S., Ketzer, J.M., & De Ros, L.F., 2000. Spatial and temporal distribution of diagenetic alterations in siliciclastic rocks: implications for mass transfer in sedimentary basins. *Sedimentology*, 47:95-120.
- Mozley, P.S., 1996. The internal structure of carbonate concretions in mudrocks: a critical evaluation of the conventional concentric model of concretion growth. In: Sik Woo, K., & Khim, B.K., Stable oxygen and carbon isotopes of carbonate concretions of the Miocene Yeonil Group in the Pohang Basin, Korea: Types of concretions and formation condition. *Sedimentary Geology*. 183:15-30.

- Nelson C.S., & Lawrence, M.F., 1984. Methane-derived high-Mg calcite submarine cement in Holocene nodules from the Fraser Delta. In: Sik Woo, K., & Khim, B.K., Stable oxygen and carbon isotopes of carbonate concretions of the Miocene Yeonil Group in the Pohang Basin, Korea: Types of concretions and formation condition. *Sedimentary Geology*, 183:15-30.
- Pemberton, S.G., Spila, M., Pulham, A.J., Saunders, T., MacEachern, J.A., Robbins, D., & Sinclair, I.K., 2006. Ichnology and sedimentology of shallow to marginal marine systems: Ben Nevis and Avalon reservoirs, Jeanne d'Arc Basin. In: Catuneanu, O., Principles of Sequence Stratigraphy. Elsevier, 375 p.
- Pratt, B.R., 2001. Septarian concretions: Internal cracking caused by synsedimentary earthquakes. *Sedimentology*, 48:189-213.
- Poursoltani, M.R., & Gilbling, R.M., 2006. The Kashafrud Formation of Iran: The Jurassic turbidites in the Neotethys Ocean, and reservoir evolution. *The Atlantic Geoscience Society, 32nd Colloquium & Annual Meeting*, Canada, Abstracts, p.61.
- Raiswell, R., 1971. The growth of Cambrian and Liassic concretions. In: Sik Woo, K., & Khim, B.K., Stable oxygen and carbon isotopes of carbonate concretions of the Miocene Yeonil Group in the Pohang Basin, Korea: Types of concretions and formation condition. *Sedimentary Geology*, 183:15-30.
- Raiswell, R., 1987. Non-steady state microbial diagenesis and the origin of concretions and nodular limestone. In: Hounslow, M.W., Significance of localized pore pressures to the genesis of septarian concretions. *Sedimentology*, 44: 1133-1147.
- Raiswell, R., & Fisher, Q.J., 2000. Mudrock-hosted carbonate concretions: a review of growth mechanisms and their influence on chemical and isotopic composition. In: Sik Woo, K., & Khim, B.K., Stable oxygen and carbon isotopes of carbonate concretions of the Miocene Yeonil Group in the Pohang Basin, Korea: Types of concretions and formation condition. *Sedimentary Geology*, 183:15-30.
- Seilacher, A., 2001. Concretion morphologies reflecting diagenetic and epigenetic pathways. *Sedimentary Geology*, 143:41-57.
- Sik Woo, K., & Khim, B.K., 2006. Stable oxygen and carbon isotopes of carbonate concretions of the Miocene Yeonil Group in the Pohang Basin, Korea: Types of concretions and formation condition. *Sedimentary Geology*, 183:15-30.
- Tucker, M.E., 2003, Sedimentary rocks in the field (third edition). Wiley, 234 p.
- Wickens, H.D., & Bouma, A.H., 2000. The Tanqua fan complex, Karoo Basin, South Africa-outcrop analog for fine-grained, deepwater deposits. In: Bouma, A.H., and Stone, C.G., (eds.) Fine-grained turbidite systems. *AAPG Memoir 72/SEPM Special Publication*, 68:153-164.
- Worden, H.R., & Morad, S., 2003. Clay mineral in sandstones: Controls on formation, distribution and evolution. In: Worden, H.R., & Morad, S., (eds.), Clay mineral cements in sandstones. Blackwell Publishing, 1-44.

Study of concretion development in shale-dominated horizons of Kashafrud Formation, and its application in sequence stratigraphic investigations, Qara Gheitan Section, Kopet-Dagh.

***Valiani, Z., Amini, A.**

1-Departement of Geology, College of Science, University of Tehran, Iran

***E-mail:** zvaliani@khayam.ut.ac.ir

Abstract

The lower parts of Kashafrud Formation in Qara Gheitan Section is dominated by shale and fine siliciclastic facies, where carbonate concretions and thin bedded of sandstones are found useful indicators for environmental analysis. Sedimentological characteristics of the shale and their abundance as well as *Helminthopsis* trace fossil content indicate that they may have formed under deep marine conditions, where interpretation of relative sea-level change for deeper parts of the basin is rather complicated. Carbonate concretions in this formation are found eodiagenetic on the basis of their calcite content (radial calcimetry), morphology (spherical), and stratigraphic position (parallel to bedding). Detrital calcite, quartz and feldspar found in the concretions are similar to the hosting shales. The hosting shale is marked by abundant illite, kaolinite, and chlorite. The concretions are thought to be developed soon after deposition of sediment, in high stand period, during which no/minor sediments were derived from the land. Interaction of sea water with newly deposited sediments led to the enrichment of some parts by calcite (concretions). Hence, the concretion rich horizons are good indicators for determination of high-stand period (mfs), therefore the sandy sheets within the shaly horizons, turbidites, indicate the low-stand period in the basin, during which sediment supply from the land was significant.

Keywords: Kashafrud, *Helminthopsis*, carbonate concretion eodiagenetic, Sequence stratigraphy.